

رفتار و حرکت یک کم فشار بریده

ناج الدین بنی هاشم^{*}، حسین اردکانی^{**} و سحر ناج بخش^{***}

چکیده

پدیده مورد مطالعه در تاریخ بیست فوریه ۱۹۹۷ (۳۰ بهمن ۱۳۷۵) رخ داده و چرخه زندگی آن ده روز بوده است. با محاسبه کمیتهای تاوانی نسبی، مطلق و پتانسیلی و نیز سرعت قائم بر روی این سیستم، کوشش می‌شود الگویی برای اینگونه پدیده‌ها ارایه شود. داده‌های لازم به کمک نقشه‌های موجود در سطوح مختلف برای یک شبکه 15×15 نقطه‌ای در منطقه خاورمیانه محاسبه شده است. از محاسبه کمیتهای موردنظر و رسم نقشه‌های مربوط، بررسی چرخه زندگی این کم فشار بریده و تفسیر نقشه‌های بدست آمده چنین برمی‌آید که کم فشار بریده مورد مطالعه از نوع قطبی است؛ حرکت سیستم با توجه به شیوه پریندهای ژئوپتانسیل رو به شرق و شمال شرق است؛ و فرارفت تاوانی مطلق در جنوب و جنوب غرب تاوه باعث تقویت و چرخش آن می‌شود.

کلید واژه‌ها: کم فشار، چرخندزایی، تاوانی، پریند، گرته و بندآیی

۱ مقدمه

کم فشارهای بریده از نقطه نظر تئوری امواج تحقیق نمود. در ۱۹۶۲ رادرفورد و ون^۱ با عکسبرداری از ابرهای همراه یک کم فشار بریده و مقایسه آن با مفاهیم تئوری به این نتیجه رسیدند که نوار حلزونی ابرها با جبهه سرد و خط تندوزه^۲ همراه است (کامیکو^۳، ۱۹۶۴). به علاوه، برخی مطالعات آماری نیز روی سیستم کم فشار بریده انجام گرفته است (پرایس و واگان^۴، ۱۹۹۲). متأسفانه تاکنون در ایران، در این زمینه تحقیق جدی نشده است. از این رو در این مقاله کوشش شده است که با مطالعه روی یکی از این کم فشارهای بریده و

عبارت‌های کم فشار و پرفشار بریده به پدیده‌هایی اطلاق می‌شود که به ترتیب در اثر ریزش هوای سرد در یک ناوه و فرازش^۵ هوای گرم در یک پشته ایجاد می‌شود. از آنجاکه این مقاله به مطالعه موردي روی یک پدیده کم فشار بریده می‌پردازد، اندکی به تاریخچه این سیستم جوی اشاره می‌شود. مطالعات زیادی روی فرآیند توسعه چرخندها و پدیده بریده شدن انجام شده است. از آن جمله توسعه امواج در جریانهای غربی است که اولین بار در ۱۹۹۵ بوسیله مکری^۶ مطالعه شده است. وی روی چرخندزایی‌های شمال استرالیا بر پایه توسعه

1. ascend
3. Rutherford & Van
5. Kamico

2. Mc Rae
4. squall line
6. Price & Vaughan

* موسسه ژئوفزیک دانشگاه تهران، صندوق پستی ۱۴۱۵۵-۶۴۶۶، تهران.
** سازمان هواشناسی کشور، صندوق پستی ۴۶۱۳۱۸۵-۱۳۱۸۵، شهرآباد، تهران.

کم‌فشارهای بریده، بسته به اینکه چه نوع جت استریمی منجر به تشکیل آنها می‌شود، به سه دسته اصلی تقسیم می‌شوند (پرایس و واگان، ۱۹۹۲)، قطبی، جنب حرارتی و تاوه قطبی، که هر کدام مشخصه مربوط به خود را دارند.

کم‌فشارهای بریده قطبی از گسترش یک جت قطبی قوی به سمت استوا تشکیل می‌شوند (سرنیگلیا و دیگران، ۱۹۹۵) و از این‌رو در قسمتهای شمالی جت جای می‌گیرند که بواسیله هوای سرد قطبی در درون و شیوه‌های شدید دمایی در پیامون مشخص می‌شوند. بنابراین، وجود جت استریمهای شاخه‌ای بزرگ در اطراف، از مشخصه‌های بارز کم‌فشارهای بریده قطبی است. به علاوه، تشکیل آنها غالباً با چرخندزایی‌های قوی همراه است.

کم‌فشارهای بریده جنب حرارتی غالباً از توسعه جت جنب حرارتی به سوی استوا تشکیل می‌شوند. شیوه‌ای دمایی کمتر از نوع اول، پیامون این کم‌فشارهای بریده دیده می‌شود. به همین علت چرخندزایی آنها ضعیفتر از نوع قطبی است.

کم‌فشارهای بریده تاوه قطبی سیستمهای کم‌فشار بریده‌ای هستند که بر اثر گسترش جت منجمده تشکیل می‌شوند و به طور معمول زمانی بوجود می‌آیند که تاوه قطبی به اندازه ۱۵ درجه به سمت استوا حرکت می‌کند و در نتیجه، ناوه یک کم‌فشار بریده تشکیل می‌شود. این کم‌فشار بریده الزاماً با سیستم بندآیی^۷ همراهی نمی‌شوند، اما ممکن است با شیوه‌ای پربندی شدید چرخند سطح زمین همراه باشند. به علاوه، این کم‌فشارهای بریده از

محاسبه برخی از کمیتها، گرته مقدماتی مناسبی برای این قبیل پدیده‌ها ارایه شود.

۲ دیدگاه همدیدی

۱.۲ سیمای عمومی شکل‌گیری کم‌فشارهای بریده کم‌فشارهای بریده که در برخی موارد با نام استخرهای هوای سرد معرفی می‌شوند، در واقع چرخندهای سطوح فوقانی‌اند که با گرته‌های بندآیی همراهی می‌کنند. معمولاً وقتی یک ناوه هوای سرد از عرضهای بالا به سمت استوا گسترش می‌یابد و یک چرخش چرخندی بسته در انتهای آن شکل می‌گیرد، کم‌فشار بریده ایجاد می‌شود که با جت استریمهای شاخه‌ای همراه است.

دیدگاه اساسی روی این کم‌فشارها بواسیله هاسکینز^۱ در ۱۹۸۵ بر اساس نقشه‌های تاوایی پتانسیلی هم درگاشت^۲ پایه‌ریزی شده است (پرایس و واگان، ۱۹۹۲). از آنجاکه وردایست^۳ در کم‌فشارهای بریده به سمت ارتفاعهای پایین کشیده می‌شود، نواحی بیشینه تاوایی پتانسیلی در ورد سپهر فوقانی^۴ و پوشش سپهر پایینی^۵ بسته می‌شود. این استخرهای تاوایی پتانسیلی بیشینه از نفوذ منبع اصلی تاوایی پتانسیلی به سمت استوا بوجود می‌آیند و گسترش آنها با نواحی بریده شده و منفصل ژئوپتانسیلها و نیز جت استریمهای شاخه‌ای همراهی می‌کنند. در دوره زوال، این استخرهای تاوایی دوباره جذب منبع اصلی خود شده، از بین می‌روند.

۲.۲ طبقه‌بندی کم‌فشارهای بریده از نظر موقعیت

1. Hoskins

2. isentropic potential vorticity

3. tropopause

5. lower stratosphere

7. blocking

4. upper troposphere

6. Cerniglia & Rood

این رو، ناپایداری فشارورددی در چرخندزایی‌های عرضه‌ای میانی عامل بسیار مهمی به شمار نمی‌آید (کارلسون، ۱۹۹۱).

۳ داده‌ها و محاسبه‌های عددی

۱.۳ داده‌ها

داده‌های لازم برای محاسبات، از روی نقشه‌های واقعی سطح زمین و سطوح فوچانی استخراج شده و حرکت سیستم با باد زمینگرد تقریب زده شده است. یک شبکه 15×15 نقطه‌ای که در راستای مداری از شرق دریای مدیترانه تا شرق ایران و در راستای نصف‌النهاری از دریاچه اورال تا خلیج فارس را در بر می‌گیرد، به عنوان شبکه منظم محاسباتی در نظر گرفته شده است. گام شبکه حدود ۲۸۰ کیلومتر و در راستای مداری و نصف‌النهاری ثابت است. داده‌های استخراج شده از روی نقشه‌های واقعی (دما و ژئوپتانسیل)، تنها برای ترازهای ۸۵۰، ۷۰۰، ۵۰۰، ۳۰۰ و ۲۰۰ هکتو پاسکال، و نیز از نقشه‌های سطح زمین موجود است و برای ترازهای ۹۰۰، ۸۰۰، ۶۰۰ و ۴۰۰ هکتو پاسکال ناگزیر از شیوه درون‌یابی استفاده شده است.

۲.۳ محاسبه‌های عددی

در این کار، برای محاسبه ارتفاع در هر تراز به جای مقادیر واقعی، از افت و خیزهای آن استفاده می‌شود. هر سطح فشاری دارای ارتفاع استاندارد است (هلتون^۴، ۱۹۹۲). از تفاضل مقادیر واقعی (Z) و مقادیر استاندارد (Z' ، مقدار افت و خیزها (Z'') بدست می‌آید.

تاوه قطبی اصلی فاصله چندانی نمی‌گیرند.

۳.۲ رشد و زوال امواج فشاروردد

شارشی که به تقریب مداری است و دارای چینش نصف‌النهاری، می‌تواند همراه با انتقال سریع انرژی جنبشی مداری به پیچکی، ناگهان فروپاشیده، به مجموعه‌ای از امواج با دامنه زیاد تبدیل شود. این‌گونه رشد سریع امواج، با ناپایداری فشارورددی وابستگی دارد، که انرژی خود را از چینش نصف‌النهاری شارش مداری ($\delta u/\delta y$) دریافت می‌کند. شرط لازم برای مبادله انرژی جنبشی مداری و پیچکی این است که میانگین مداری حاصلضرب مولفه‌های پیچکی (پریشیدگی) باد مخالف صفر باشد، که در نتیجه موجب شار نصف‌النهاری تکانه زاویه‌ای نسبی می‌شود. آهنگ رشد امواج با سرعت جریان مداری تغییر می‌کند. به ویژه، در زمستان، رشد قابل ملاحظه امواج در محدوده زمانی چند روز یا کمتر، تنها هنگامی رخ می‌دهد که چینش نصف‌النهاری شارش مداری به قدر کافی بزرگ باشد. (هالتینر^۱، ۱۹۷۱، کارلسون^۲، ۱۹۹۱، اوساکی و ناکامورا^۳، ۱۹۹۸).

تشکیل و زوال ناوه‌ها در جریان‌های غربی با تبدیل فشارورددی انرژی و به ویژه در مرحله تشکیل، با ناپایداری فشارورددی وابستگی دارد. ناپایداری فشارورددی در عرضهای میانی، در مرحله آغازین که شارش مداری قوی است، از نظر رشد امواج حائز اهمیت است و در نتیجه چینش عرضی بیشترین مقدار را دارد. به علاوه، تبدیل انرژی جنبشی، در قیاس با انرژی پتانسیل، میان شارش مداری و پیچکی معمولاً ضعیف است. از

1. Haltiner
3. Ohsaki & Nakamura

2. Carlson
4. Holton

راسبی شهرت دارد و Z' ضخامت میانگین دو تراز متواالی است. در رابطه (۵) می‌توان $\nabla^2 Z'$ را برابر حسب $\nabla^2 f$ نوشت

$$\nabla^2 Z' = (m^2/d^2) \nabla^2 f Z' \quad (8)$$

در این معادله d گام شبکه در هر دو راستای X و Y و $f^2 \nabla^2$ نماد لابلسی تفاضل متناهی روی نقشه است و مقدار آن از رابطه زیر محاسبه می‌شود

$$\nabla^2 f Z'_{ij} = (Z'_{i+1,j} + Z'_{j+1,i} + Z'_{i-1,j} - 4Z'_{ij}) \quad (9)$$

برای محاسبه سرعت قائم از روش فشارورد هم ارز استفاده شده است

$$w(p) = [C(p)/f] \left[\vec{V} \cdot \overline{\nabla \xi g} \right] \quad (10)$$

که در آن $C(p)$ یک مقدار تجربی است (کارلسون، ۱۹۹۱)، \vec{V} و $\overline{\nabla \xi g}$ میانگین قائم، به ترتیب، تاوایی نسبی زمینگرد و سرعت باد زمینگرد هستند که برای کل ستون قائم جو مقدار ثابتی می‌باشند.

۴ تفسیر نقشه‌ها و نتایج محاسبات

در نقشه‌های تحلیل یافته روز ۲۰ فوریه ۱۹۹۷ در تراز ۱۰۰۰ هکتو پاسکال، که در شکل ۱.۱ الف دیده می‌شود، یک ناوه شرقی از حدود منطقه عربستان سعودی و بخشی از دریای سرخ و خلیج فارس به شرق دریای مدیترانه گسترش یافته است. می‌توان استنباط کرد که در داخل این سیستم هوای گرم و مرطوب به سمت شرق مدیترانه

$$Z' = Z_s - Z \quad (1)$$

محاسبه ارتفاع در ترازهای میانی جو (۹۰۰، ۸۰۰، ۶۰۰ و ۴۰۰ هکتو پاسکال)، به کمک معادله زیر (بنی‌هاشم، ۱۳۷۴) درون‌یابی شده است

$$Z_2 = \frac{Z_3 \log p_2/p_1 + Z_1 \log p_3/p_2}{\log p_2/p_1 + \log p_3/p_2}$$

که در این معادله ارتفاع تراز میانی به کمک داده‌های فشار و ارتفاع در ترازهای زیرین (Z_1, P_1) و زیرین (Z_3, P_3) آن به دست آمده است.

ضریب نقشه (m) و پیراسنج^۱ کوریولیس (f) به ترتیب، از رابطه‌های زیر، که متغیر آنها تنها عرض جغرافیایی (φ) است، محاسبه می‌شوند

$$m = (1 + \sin \varphi_0) / (1 + \sin \varphi) \quad (3)$$

$$f = 2\Omega \sin \varphi \quad (4)$$

در اینجا Ω سرعت زاویه‌ای زمین است و با توجه به نقشه‌های هواشناسی φ برابر 60° درجه می‌باشد. تاوایی‌هایی نسبی، مطلق و پتانسیلی به ترتیب از رابطه‌های زیر بدست می‌آید (هلتون، ۱۹۹۲)

$$\zeta_g = g \nabla^2 Z' / f \quad (5)$$

$$\zeta_a = \zeta_g + f \quad (6)$$

$$q_R = \zeta_a / \nabla Z \quad (7)$$

در اینجا g شتاب گرانی و f پیراسنج کوریولیس مینا یا میانگین است، f همان عامل در عرض φ می‌باشد که، به ویژه در رابطه (۶) به مفهوم تاوایی سیاره‌ای است، ζ_g و ζ_a به ترتیب تاوایی نسبی زمینگرد و تاوایی مطلق زمینگرد است، q_R به تاوایی پتانسیلی

سیستم باشد که، چنانچه در زیر می‌آید، در این روز موجب حرکت قائم می‌شود، ضمن اینکه همگرایی در سطح زمین موجبات تعمیق و حرکت چرخند را فراهم می‌آورد. سری شکل‌های ۲ گرتنهای تاوایی مطلق را در تراز ۵۰۰ هکتو پاسکال در روزهای مذکور نشان می‌دهد که از مقایسه با سری شکل‌های ۲.۱ پیداست که همواره بیشینه مقدار آن در داخل مرکز چرخند لایه میانی جو قرار دارد. شکل‌های ۳.ب و ۳.ج، برخلاف شکل ۳.الف، معرف چرخش محور تاوه و بیشینه مقادیر تاوایی مطلق در یک راستا هستند. ضمن اینکه سیمولوهای تاوایی مطلق در تمام روزها به ویژه در روز بیست و چهارم در نیمه غربی تاوه مشهود است. شکل ۴ حرکت مرکز تاوه از هنگام ظهر تا مرحله زوال را نشان می‌دهد که با چشم‌پوشی از برخی انحرافهای افت‌خیزی می‌توان حرکت آنرا در راستای شمال‌شرقی در نظر گرفت. موقعیت فضایی محور سیستم در روزهای مختلف در شکل ۵ دیده می‌شود که می‌توان با توجه به شبیه آن، در روز بیست و ششم (شکل ۵.ب) شرایط فشارورددی و در روز بیست و چهارم (شکل ۵.الف) کژفشاری تلقی کرد و نهایتاً شکل ۶ مولفه قائم سرعت باد را در روز بیست و ششم نشان می‌دهد. ضمن اینکه مقادیر منفی آن معرف حرکتهای صعودی است و اثر این صعود به شکل ناپایداریهای پراکنده‌ای ظاهر شده که بطور کیفی در جدول ۱ بررسی شده است.

۵ نتایج

۱. کم فشار بریده مورد مطالعه احتمالاً از نوع قطبی است زیرا با جت استریم نوع قطبی همراه شده و در عرضهای میانی تشکیل شده است، ضمن اینکه شیوه دمایی در اطراف آن دیده می‌شود.

فرارفت می‌یابد. روند تقویت این موج تا روز بیست و چهارم ادامه دارد بطوری که در این روز (شکل ۱.۱ ب) به بیشینه فعالیت خود می‌رسد. ضمن اینکه به آهستگی به سمت شرق و شمال شرق در حال حرکت است، چرخند پس از تضعیف نسبی در روز بعد، دوباره در روز بیست و ششم همان طور که در شکل ۱.۱ ج نشان داده شده است، تقویت می‌شود و مرکز بسته‌ای در شرق دریای مدیترانه شکل می‌گیرد. در شکل ۲.۱ الف در منطقه ایران و در تراز ۵۰۰ هکتو پاسکال، یک پشته با دامنه کم مشاهده می‌شود که شیوه شدید ژئوتاناسیل در این شکل، معرف افزایش باد با ارتفاع است و حکایت از آن دارد که در ناوه سطوح پایین یک موج کم عمق ناپایدار کژ فشار در حال شکل‌گیری است (مرادی، ۱۳۷۶). تقویت این موج در روز بیست و چهارم فوریه با محوری در راستای شمال‌غرب - جنوب‌شرق در شکل ۲.۱ ب بوضوح دیده می‌شود که این محور پس از ۴۸ ساعت در راستای ساعتگرد چرخیده به گونه‌ای که در شکل ۲.۱ ج (روز بیست و ششم) کاملاً در راستای شمال‌شرق - جنوب‌غرب قرار گرفته است و از این تاریخ به بعد ضمن اینکه سیستم تضعیف می‌شود سرعت حرکت آن افزایش می‌یابد به گونه‌ای که به نواحی شرق ایران منتقل می‌شود (شکل ۲.۱ د). لازم به ذکر است که شرایط فشارورددی، با تقریب خوبی، در روز بیست و ششم حاکم شده چرا که محور فضایی این سیستم تقریباً قائم شده است. به بیان بهتر، مرکز چرخند در تمام لایه‌ها در یک راستا واقع شده است. به نظر می‌رسد فعالیت این سیستم در این روز نه به علت فرارفت تاوایی است و نه به علت فرارفت دما، بلکه می‌تواند در اثر مالش یا توپوگرافی سطح زمین و یا در اثر گرمای نهان درون

در اثر حرکت بتدریج ضعیف شود اما دیده می‌شود که در روز بیست و ششم در منطقه کوهستانهای زاگرس و شمال‌غرب کشور، مجدداً فعال شده که شاید به علت افزایش سرعت قائم بر اثر عواملی باشد که پیش از این اشاره شده است. در واقع محاسبه اثرات کوهستانهای مذکور خارج از بحث همدیدی این مقاله است اما اثرات تقویت سیستم بعد از عبور از این منطقه در روز بیست و ششم غیرقابل چشم‌پوشی است.

در این مقاله تئوری و تفسیر شکل‌ها بطرور مختصر ذکر شده است (شرح بیشتر در تاج‌بخش، ۱۳۷۶).

منابع

- بنی‌هاشم، ت.، ۱۳۷۴، مقایسه درون‌یابی‌های لگاریتمی و خطی در جو (محاسبات منتشر نشده).
تاج‌بخش، س.، ۱۳۷۶، رفتار و حرکت یک کم‌فشار بریده از دیدگاه فشارورددی، پایان‌نامه کارشناسی ارشد، موسسه ژئوفیزیک دانشگاه تهران.
مرادی، م.، ۱۳۷۶، رفتار و حرکت یک کم‌فشار بریده از دیدگاه کژفشاری، پایان‌نامه کارشناسی ارشد، موسسه ژئوفیزیک دانشگاه تهران.
- Carlson, T. N., 1991, Mid-latitude weather systems: Harper Collins Academic.
- Cerniglia, M. C., Rood, R. B., & Duglass, A. R., 1995, Three dimensional simulation of the influence of a cut-off low on the distribution of northern hemisphere processed air in late January 1992: J. Geophys. Res., **100**, 16431-16443.
- Fjortoft, R., 1952, On the numerical method of

۲. سیملوله‌های تاوایی در تقویت و به ویژه حرکت و چرخش سیستم نقش موثری دارند. همانطور که دیده شد عامل اصلی تقویت شدید سیستم در روز بیست و چهارم، وجود سیملوله‌های تاوایی در نواحی غربی تاوه بود. اما از روز بیست و چهارم به بعد، به جهت هم محور شدن مرکز تاوه با بیشینه مقدار تاوایی، فرارفت تاوایی در نواحی شرقی و جنوب‌شرقی، تنها باعث چرخش چرخندی سیستم شده است.

۳. بنابر تئوری فیورتف^۱، که حرکت یک سیستم فشارورددی را در راستای حرکت شدیدترین شیوه‌ای پریندی می‌داند، حرکت سیستم مذکور بر اساس شکل ۴ در راستای شمال‌شرق است زیرا سوی شدیدترین شیوه‌ای پریندی در این جهت قرار دارد.

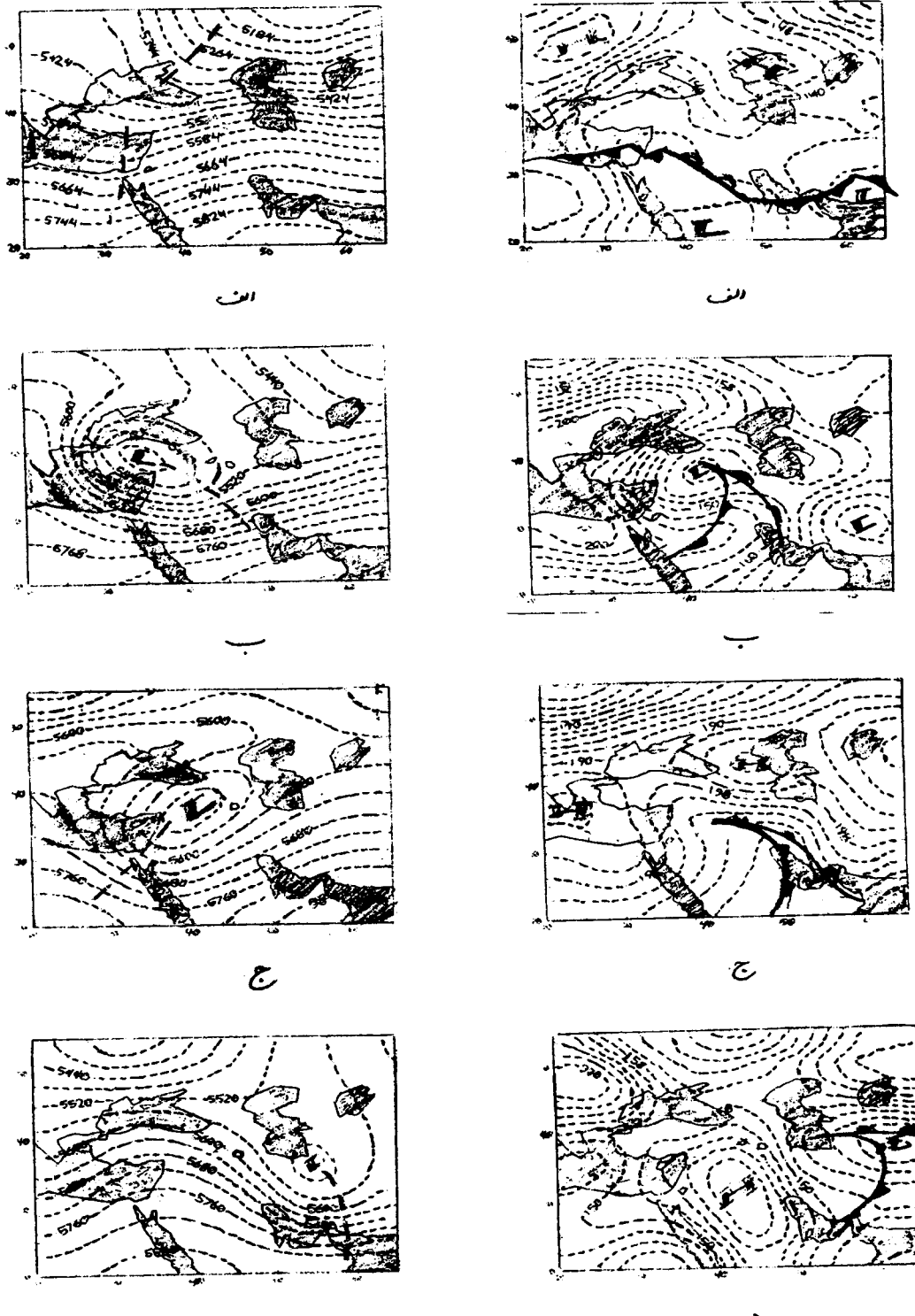
۴. بررسی شرایط فشارورددی با زاویه محور فضایی چرخند قابل بررسی است که بنابر شکل ۵، روز بیست و ششم بهترین وضعیت را برای این شرایط نشان می‌دهد زیرا که محور تقریباً قائم است.

۵. محاسبه سرعت قائم در ترازهای مختلف برای روز بیست و ششم نشان می‌دهد که بیشینه آن در تراز ۵۰۰ هکتوپاسکال و تقریباً داخل تاوه واقع شده است و با توجه به اینکه در این مدل (فشاروردد هم‌ارز) از ضرایب تجربی استفاده شده، موقعیت بیشینه این عامل دقیقاً با مرکز چرخند هم‌خوانی ندارد که احتمالاً به علت عدم تطابق کامل ضرایب مربوط با منطقه کوهستانی ایران است.

۶. با توجه به چرخه زندگی کم‌فشار بریده مورد مطالعه استنبط می‌شود، همانگونه که قبل از بحث شد، بعد از روز بیست و چهارم، بایستی این سیستم

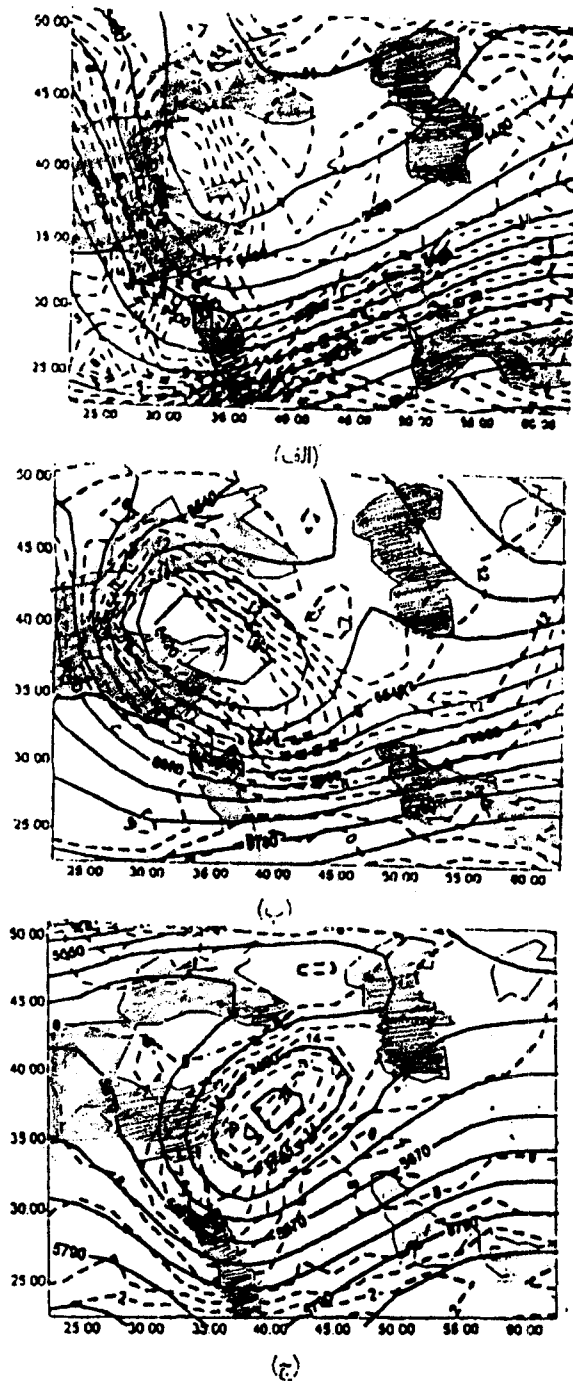
1. Fjortoft

- integrating the barotropic vorticity equation:
Tellus **4**, 179- 194.
- Haltiner, G. J., 1971, Numerical weather prediction: John Willy & Sons.
- Holton, J. R., 1992, An introduction to dynamic meteorology: Academic Press.
- Kamiko, T., 1964, A developing subtropical depression and its frontal structure: *Mon. Wea. Rev.*, **15**, 1- 14.
- Ohsaki, Y., and Nakamura, K., 1998, On the mechanism of overflection of a barotropic Rossby wave: *Journal of the Meteorological Society of Japan*, **76**, **2**, 191- 203.
- Price, J. D., and Vaughan, G., 1992, Statistical studies of cut-off low systems: *Ann. Geophysicae*, **10**, 96- 102.

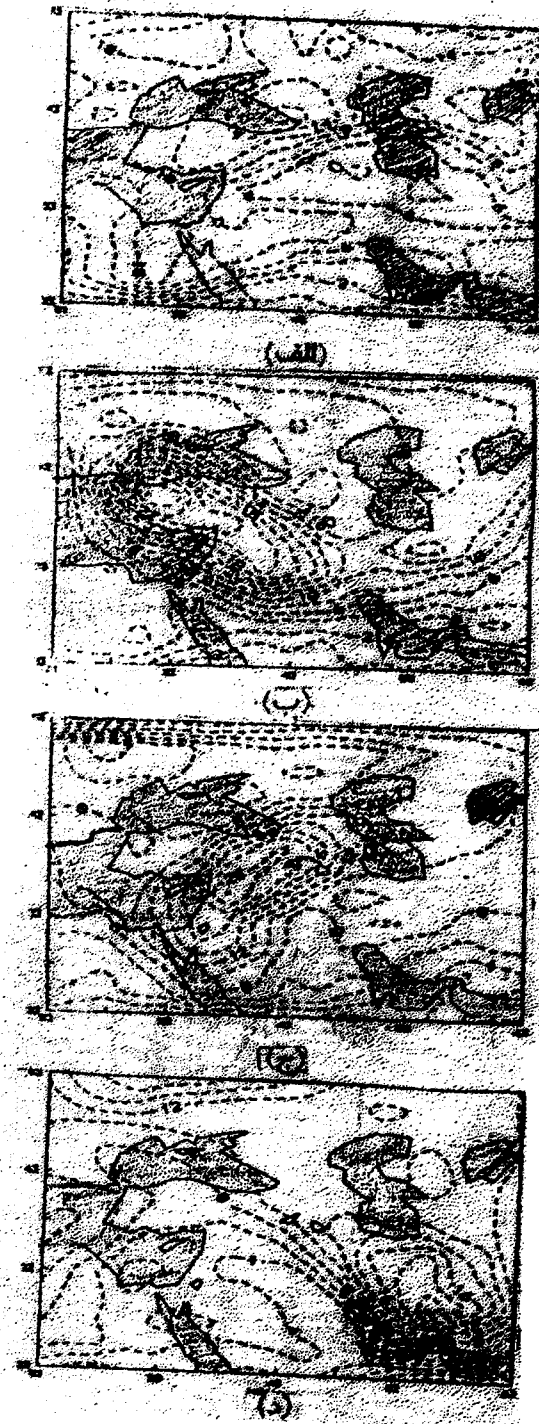


شکل ۲.۱ همانند شکل ۱.۱، ولی در تراز ۵۰۰ هکتو پاسکال.

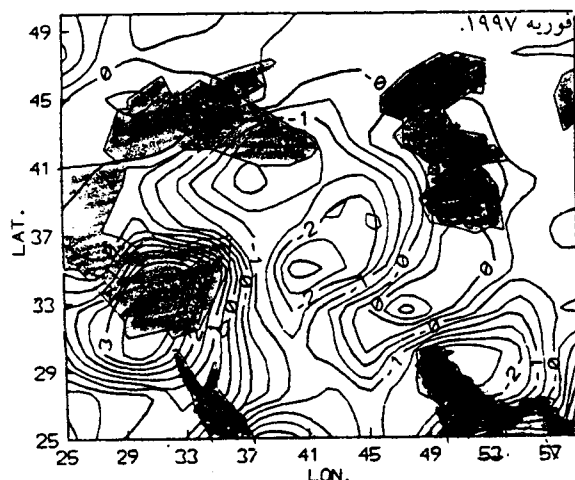
شکل ۱.۱ گرته ژئوپتانسیل (بر حسب m) در تراز ۱۰۰۰ هکتو پاسکال. در روزهای: (الف) بیست، (ب) بیست و چهارم، (ج) بیست و ششم و (د) بیست و هشتم فوریه ۱۹۹۷.



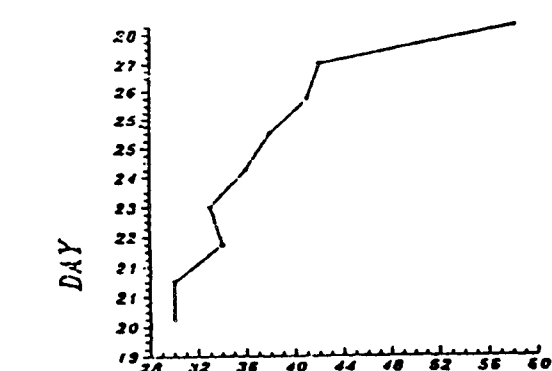
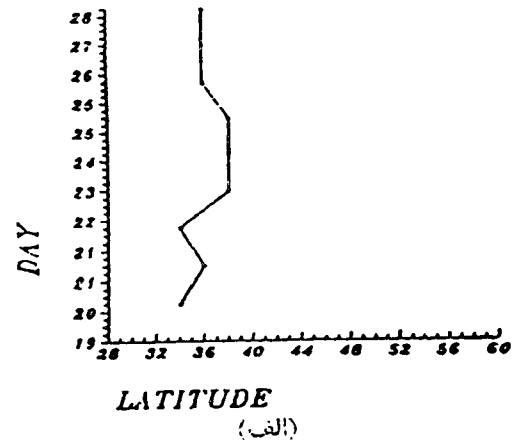
شکل ۳. برهمهنش گرته‌های ژوپتانسیل و تاوایی مطلق در تراز ۵۰۰ هکتو پاسکال برای روزهای: (الف) بیست و سوم، (ب) بیست و چهارم و (ج) بیست و ششم فوریه ۱۹۹۷. خطوط پر معرف ژوپتانسیل بر حسب s^{-5} و خط‌چینهای تاوایی مطلق بر حسب است.



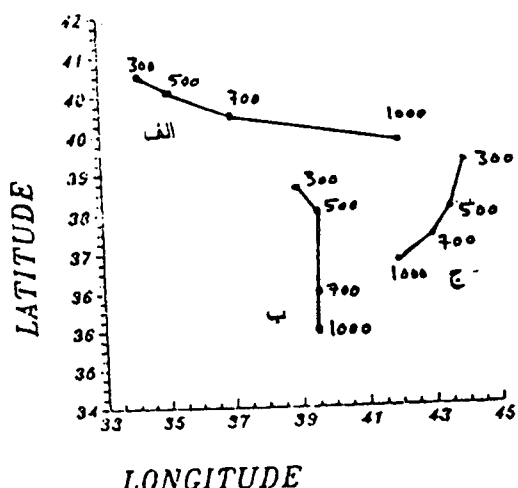
شکل ۲. گرته تاوایی مطلق (بر حسب s^{-5}) در تراز ۵۰۰ هکتو پاسکال، در روزهای: (الف) بیست، (ب) بیست و چهارم، (ج) بیست و ششم و (د) بیست و هشتم فوریه ۱۹۹۷



شکل ۶. گرته سرعت قائم بر حسب cm/s در تراز ۵۰۰ هكتو پاسکال در روز بیست و ششم فوریه ۱۹۹۷.



شکل ۴. حرکت مرکز تاوه به سمت (الف) شمال و (ب) شرق در روزهای بیست تا بیست و هشتم ۱۹۹۷.



شکل ۵. موقعیت محور فضایی مرکز تاوه در روزهای:
(الف) بیست و چهارم، (ب) بیست و ششم و (ج) بیست و هفتم

جدول ۱. گزارش پدیده‌های جوی پنج شهر ایران در تاریخ ۲۶ فوریه ۱۹۹۷.

ساعت شهر	۰۰	۰۳	۰۶	۰۹	۱۲	۱۵	۱۸
ارومیه	برف شدید مداوم	برف شدید مداوم	برف	برف شدید مداوم	برف متوسط مداوم	برف شدید مداوم	برف
خوی	برف متوسط مداوم	برف شدید مداوم	برف شدید مداوم	مه رفیق	برف متوسط مداوم	برف شدید مداوم	برف
اردبیل				برف متوسط مداوم	برف شدید مداوم		برف شدید مداوم
تبریز				برف شدید رگباری	برف شدید رگباری	مه رفیق	
کرمانشاه			باران شدید رگباری	باران شدید رگباری			